

# Funzioni di più variabili 4

March 22, 2021



# Ricerca di massimi e minimi liberi

Come esempio di applicazione dei metodi descritti, risolviamo il problema della scatola di superficie minima.

Trovare il minimo di

$$f(x, y) = xy + \frac{V}{x} + \frac{V}{y} \quad \text{in} \quad D = \{(x, y) \mid x > 0, y > 0\}.$$

La funzione è regolare in tutto l'aperto, per cui possiamo cercare i punti critici e applicare il test delle derivate seconde. Calcoliamo il gradiente di  $f$  in un punto generico:

$$\nabla f(x, y) = (y - V/x^2)\mathbf{i} + (x - V/y^2)\mathbf{j};$$

Cerchiamo quindi le soluzioni (in  $D$ ) del *sistema*

$$\begin{cases} y - V/x^2 = 0 \\ x - V/y^2 = 0 \end{cases}$$

Dopo semplici passaggi algebrici si ottiene l'unica soluzione

$$x = y = \sqrt[3]{V}$$

Per classificare il punto critico calcoliamo:

$$\partial_{xx}f(x, y) = 2V/x^3; \quad \partial_{xy}f(x, y) = 1; \quad \partial_{yy}f(x, y) = 2V/y^3.$$

Quindi:

$$H_f(\sqrt[3]{V}, \sqrt[3]{V}) = \begin{pmatrix} 2 & 1 \\ 1 & 2 \end{pmatrix},$$

Poiché  $\det H_f(\sqrt[3]{V}, \sqrt[3]{V}) = 3 > 0$  e  $\partial_{xx}f(\sqrt[3]{V}, \sqrt[3]{V}) = 2 > 0$ , si tratta di un *punto di minimo*.

Si può dimostrare che il punto trovato è di minimo globale. Il *valore* minimo della funzione è  $f(V^{1/3}, V^{1/3}) = 3V^{2/3}$ .

Dunque, la soluzione del problema è il cubo ( $x = y = z$ ) di lato  $V^{1/3}$  e di superficie totale  $S = 6V^{2/3}$ .

## Esercizi

Trovare i punti critici ed eventuali estremi (locali e globali) in  $\mathbb{R}^2$  delle funzioni

$$f(x, y) = x^4 + y^4 - 4xy + 1 ;$$

$$g(x, y) = x^2 + y^2(x + 1)^3 .$$

Lo stesso per la funzione

$$F(x, y, z) = \frac{1}{3}x^3 + yz - x - z \quad \text{in } \mathbb{R}^3$$

e per la funzione

$$h(x, y) = \frac{xy}{x^2 + y^2} \quad \text{in } \mathbb{R}^2 \setminus \{(0, 0)\} .$$

# Massimi e minimi con vincoli

Consideriamo il problema:

trovare i massimi e i minimi della funzione  $h(x, y) = xy$  nell'insieme  $B = \{(x, y) \mid x^2 + y^2 \leq 1\}$ .

Poiché  $h$  è continua e  $B$  è chiuso e limitato, i punti di estremo esistono per il teorema di Weierstrass.

Dividiamo il problema in due parti:

- 1) ricerca degli estremi liberi nei punti interni  $\mathring{B}$  (il disco aperto);
- 2) studio della restrizione di  $h$  alla frontiera  $\partial B$  (la circonferenza).

1)  $\nabla h(x, y) = y\mathbf{i} + x\mathbf{j} = \mathbf{0} \Rightarrow (0, 0)$  è l'unico punto critico in  $\mathring{B}$ .

Calcolando le derivate seconde e la matrice Hessiana si trova:

$$h_{xx}(x, y) = h_{yy}(x, y) = 0, h_{xy}(x, y) = 1, \Rightarrow \det H_h(0, 0) = -1 < 0.$$

Dunque l'origine è un colle e non ci sono estremi locali nel disco aperto.

2) Parametrizzando  $\partial B$  con

$$x = \cos t, \quad y = \sin t, \quad t \in [0, 2\pi],$$

abbiamo

$$h(\cos t, \sin t) = \cos t \sin t = \frac{1}{2} \sin(2t) \quad t \in [0, 2\pi].$$

Il massimo è raggiunto per  $t = \pi/4$  e  $t = 5\pi/4$ , cioè nei punti

$$\left(\frac{1}{\sqrt{2}}, \frac{1}{\sqrt{2}}\right) \quad \text{e} \quad \left(-\frac{1}{\sqrt{2}}, -\frac{1}{\sqrt{2}}\right).$$

Il minimo per  $t = 3\pi/4$  e  $t = 7\pi/4$ , cioè in

$$\left(-\frac{1}{\sqrt{2}}, \frac{1}{\sqrt{2}}\right) \quad \text{e} \quad \left(\frac{1}{\sqrt{2}}, -\frac{1}{\sqrt{2}}\right).$$

In generale, si cercano gli estremi di una funzione di due variabili su un sottoinsieme del piano *definito da un'equazione (vincolo di uguaglianza)*

$$f(x, y) = 0$$

per qualche funzione  $f$  assegnata. Nel caso precedente, la frontiera è definita da  $f(x, y) := x^2 + y^2 - 1 = 0$ .

*Esiste un metodo per studiare il problema di ottimizzazione vincolata anche se non si 'risolve' esplicitamente l'equazione del vincolo.*

Definizione (funzione implicita)

Una funzione  $g : I \rightarrow \mathbb{R}$ ,  $I \subseteq \mathbb{R}$ , si dice definita implicitamente dall'equazione  $f(x, y) = 0$  se

$$f(x, g(x)) = 0, \quad \text{per ogni } x \in I.$$

Il risultato che segue fornisce condizioni *sufficienti* per esistenza e unicità (locali) di una funzione implicita

Teorema della funzione implicita (Dini).

Sia  $f \in \mathcal{C}^1(D)$ ,  $D \subseteq \mathbb{R}^2$  aperto. Supponiamo che esista  $(x_0, y_0) \in D$  tale che

$$f(x_0, y_0) = 0 \quad e \quad \partial_y f(x_0, y_0) \neq 0.$$

Allora esiste un intorno  $I$  di  $x_0$  e un'unica funzione  $g : I \rightarrow \mathbb{R}$  tale che  $y_0 = g(x_0)$  e

$$f(x, g(x)) = 0 \quad \forall x \in I.$$

Inoltre  $g \in \mathcal{C}^1(I)$  e

$$g'(x) = -\frac{\partial_x f(x, g(x))}{\partial_y f(x, g(x))} \quad \forall x \in I.$$



### Osservazioni:

- i) La formula per  $g'$  si può ricavare derivando l'identità  $f(x, g(x)) = 0$  e applicando il teorema di derivazione delle funzioni composte;
- ii) dalla formula si ottiene l'equazione della retta tangente al grafico di  $g$  in  $(x_0, y_0)$ :

$$y = y_0 - \frac{\partial_x f(x_0, y_0)}{\partial_y f(x_0, y_0)}(x - x_0),$$

- iii) se l'ultima ipotesi del teorema si cambia con  $\partial_x f(x_0, y_0) \neq 0$ , la tesi diventa:

esiste un intorno  $J$  di  $y_0$  e un'unica funzione  $h : J \rightarrow \mathbb{R}$  tale che  $x_0 = h(y_0)$  e

$$f(h(y), y) = 0 \quad \forall y \in J.$$

Inoltre  $h \in \mathcal{C}^1(J)$  e

$$h'(y) = -\frac{\partial_y f(h(y), y)}{\partial_x f(h(y), y)} \quad \forall y \in J.$$

## Esempio

L'equazione

$$f(x, y) := e^{xy} + x - y + 1 = 0$$

è verificata nel punto  $(0, 2)$ . Inoltre

$$\partial_y f(0, 2) = (xe^{xy} - 1)|_{(0,2)} = -1 \neq 0.$$

Esiste allora  $g(x)$ , definita (e regolare) in un intorno  $I$  di  $x = 0$ , tale che

$$g(0) = 2 \quad \text{e} \quad f(x, g(x)) = 0, \quad \forall x \in I.$$

Nell'origine abbiamo:  $g'(0) = -\frac{\partial_x f(0,2)}{\partial_y f(0,2)} = -\frac{3}{-1} = 3,$

per cui in  $I$  vale

$$g(x) = 2 + 3x + o(x)$$

Le ipotesi del teorema di Dini sono verificate anche nel punto  $(-2, 0)$ :

$$f(-2, 0) = 0; \quad \partial_y f(-2, 0) = -3 \neq 0.$$

In questo caso :

$$g(-2) = 0, \quad g'(-2) = -\frac{\partial_x f(-2, 0)}{\partial_y f(-2, 0)} = -\frac{1}{-3} = 1/3$$

e quindi

$$g(x) = \frac{1}{3}(x + 2) + o(x + 2)$$

in un intorno di  $x = -2$ .

Se in  $(x_0, y_0)$  vale  $f(x_0, y_0) = 0$  e  $\nabla f(x_0, y_0) \neq \mathbf{0}$ , il teorema della funzione implicita garantisce che il vincolo  $f(x, y) = 0$  è *localmente* il grafico di una funzione di una variabile. Chiameremo *regolari* questi punti.

I punti  $(x_0, y_0)$  tali che

$$f(x_0, y_0) = 0 \quad \text{e} \quad \nabla f(x_0, y_0) = \mathbf{0},$$

si dicono *punti singolari* del vincolo (o dell'insieme di livello  $f = 0$ ).

### Esempi

L'origine è un punto singolare dei vincoli

$$x^2 + y^2 = 0, \quad x^2 - y^2 = 0, \quad x^2 - y^3 = 0,$$

poiché in tutti e tre i casi  $f(0, 0) = 0$  e  $\nabla f(0, 0) = \mathbf{0}$ .

Dagli esempi si vede che nell'intorno di un punto singolare *non sono garantite* esistenza, unicità e regolarità di una curva che rappresenti il vincolo.

Osservazione. Se  $(x_0, y_0)$  è un *punto critico* di una funzione di  $f(x, y)$ , esso è anche *punto singolare dell'insieme di livello*  $\{(x, y) \mid f(x, y) = c\}$ , dove  $c = f(x_0, y_0)$ .

## Funzione implicita in più variabili

Consideriamo il caso di funzioni definite implicitamente dall'equazione  $f(x, y, z) = 0$ .

Teorema (Dini).

Sia  $f \in \mathcal{C}^1(D)$ ,  $D \subseteq \mathbb{R}^3$  aperto. Supponiamo che esista  $(x_0, y_0, z_0) \in D$  tale che

$$f(x_0, y_0, z_0) = 0 \quad \text{e} \quad \partial_z f(x_0, y_0, z_0) \neq 0.$$

Allora esiste un'unica funzione  $g(x, y)$  definita in un intorno  $U$  di  $(x_0, y_0)$  e tale che  $z_0 = g(x_0, y_0)$  e

$$f(x, y, g(x, y)) = 0 \quad \forall (x, y) \in U.$$

Inoltre  $g \in \mathcal{C}^1(U)$  e

$$\partial_x g(x, y) = -\frac{\partial_x f(x, y, g(x, y))}{\partial_z f(x, y, g(x, y))}, \quad \partial_y g(x, y) = -\frac{\partial_y f(x, y, g(x, y))}{\partial_z f(x, y, g(x, y))},$$

$\forall (x, y) \in U$ .

### Osservazioni:

- i) Dalle formule per le derivate  $\partial_x g$ ,  $\partial_y g$ , si ricava l'equazione del *piano tangente* alla superficie  $z = g(x, y)$  in  $(x_0, y_0, z_0)$ :

$$z = z_0 - \frac{\partial_x f(x_0, y_0, z_0)}{\partial_z f(x_0, y_0, z_0)}(x - x_0) - \frac{\partial_y f(x_0, y_0, z_0)}{\partial_z f(x_0, y_0, z_0)}(y - y_0),$$

- ii) se l'ultima ipotesi del teorema si cambia con  $\partial_x f(x_0, y_0, z_0) \neq 0$  (o con  $\partial_y f(x_0, y_0, z_0) \neq 0$ ), si dimostra l'esistenza di una funzione  $h(y, z)$  ( $k(x, z)$ ) definita e regolare in un intorno di  $(y_0, z_0)$  (di  $(x_0, z_0)$ ) e che soddisfa

$$f(h(y, z), y, z) = 0 \quad (f(x, k(x, z), z) = 0)$$

### Esercizio.

Usando l'equazione del piano tangente alla funzione implicita dimostrare che il gradiente  $\nabla f$  di una funzione di tre variabili (di classe  $C^1$ ) è *ortogonale* alla *superficie di livello*  $\{(x, y, z) \mid f(x, y, z) = c\}$  in ogni punto regolare.

# Vincoli di uguaglianza: moltiplicatori di Lagrange.

Torniamo ora al problema di determinare gli estremi di una funzione  $f(x, y)$  sotto una condizione di vincolo del tipo  $g(x, y) = c$ .

Teorema (moltiplicatori di Lagrange)

Siano  $f, g \in \mathcal{C}^1(\mathbb{R}^2)$  e sia  $(x_0, y_0)$  un punto di estremo vincolato per  $f$  con il vincolo  $g(x, y) = c$  ( $c \in \mathbb{R}$ ).

Se  $(x_0, y_0)$  è un punto regolare del vincolo ( $\nabla g(x_0, y_0) \neq \mathbf{0}$ ) esiste  $\lambda_0 \in \mathbb{R}$  tale che

$$\nabla f(x_0, y_0) = \lambda_0 \nabla g(x_0, y_0).$$

*Dimostrazione*

Poichè  $(x_0, y_0)$  è un punto regolare, per il teorema di Dini l'equazione  $g(x, y) - c = 0$  definisce localmente un arco di curva regolare

$$x = x(t), \quad y = y(t), \quad t \in I,$$

dove si può assumere  $I$  un intorno dell'origine e  $(x(0), y(0)) = (x_0, y_0)$ .

Per ipotesi,  $t = 0$  è punto di estremo locale per la funzione composta  $f(x(t), y(t))$ , per cui

$$0 = \left. \frac{d}{dt} f(x(t), y(t)) \right|_{t=0} = \partial_x f(x_0, y_0) x'(0) + \partial_y f(x_0, y_0) y'(0).$$

Quindi, nel punto considerato, il gradiente  $\nabla f(x_0, y_0)$  è *ortogonale* al vettore tangente  $x'(0)\mathbf{i} + y'(0)\mathbf{j}$  alla curva di livello  $g(x, y) = c$ .

Ma, come è noto, anche il vettore  $\nabla g$  è ortogonale (in ogni punto regolare) alla curva di livello.

Si conclude che i vettori  $\nabla f(x_0, y_0)$  e  $\nabla g(x_0, y_0)$  *devono essere paralleli*, ovvero che

$$\nabla f(x_0, y_0) = \lambda_0 \nabla g(x_0, y_0)$$

per qualche  $\lambda_0 \in \mathbb{R}$ .  $\square$

Un punto regolare del vincolo in cui vale la condizione  $\nabla f(x, y) = \lambda \nabla g(x, y)$  si dice **punto critico vincolato**.

Per il teorema precedente, se un punto (regolare) è di estremo vincolato, allora è un punto critico vincolato.



*Osservazioni.*

Introducendo la funzione detta *Lagrangiana*

$$\mathcal{L}(x, y, \lambda) := f(x, y) - \lambda (g(x, y) - c)$$

possiamo dire che i punti critici vincolati si trovano risolvendo il sistema

$$\begin{cases} \partial_x \mathcal{L}(x, y, \lambda) = \partial_x f(x, y) - \lambda \partial_x g(x, y) = 0, \\ \partial_y \mathcal{L}(x, y, \lambda) = \partial_y f(x, y) - \lambda \partial_y g(x, y) = 0, \\ \partial_\lambda \mathcal{L}(x, y, \lambda) = c - g(x, y) = 0. \end{cases}$$

Il sistema equivale alla ricerca dei punti critici (liberi) della Lagrangiana come funzione delle *tre* variabili  $(x, y, \lambda)$ .

La ricerca degli estremi vincolati con il *metodo dei moltiplicatori di Lagrange* consiste nei seguenti passi:

- i) Si identificano eventuali punti singolari del vincolo e si valuta la funzione in tali punti.
- ii) Si cercano i punti critici vincolati risolvendo il sistema per i punti critici della Lagrangiana.
- iii) Si valuta la funzione nei punti critici trovati.

### Esempio

Ritorniamo al problema di determinare gli estremi di

$$f(x, y) = xy$$

con il vincolo

$$x^2 + y^2 = 1,$$

che non presenta punti singolari.

In questo caso la *Lagrangiana* si scrive

$$\mathcal{L}(x, y, \lambda) := xy - \lambda (x^2 + y^2 - 1).$$

I punti critici vincolati si trovano risolvendo il sistema

$$\begin{cases} \partial_x \mathcal{L}(x, y, \lambda) = y - 2\lambda x = 0, \\ \partial_y \mathcal{L}(x, y, \lambda) = x - 2\lambda y = 0, \\ \partial_\lambda \mathcal{L}(x, y, \lambda) = -(x^2 + y^2 - 1) = 0. \end{cases}$$

Eliminando  $\lambda$  nelle prime due equazioni si ricava  $x = y$  o  $x = -y$ ; sostituendo nella terza si trovano le stesse soluzioni di p. 6.

Osservare che le curve di livello

$$xy = 1/2 \quad \text{e} \quad xy = -1/2,$$

sono *tangenti al vincolo*  $x^2 + y^2 = 1$  nei punti di estremo vincolato, in accordo con il teorema dei moltiplicatori.

### Problemi.

Trovare il rettangolo di perimetro massimo inscritto nell'ellisse

$$\frac{x^2}{a^2} + \frac{y^2}{b^2} = 1.$$

Trovare il minimo di

$$f(x, y) = (x + 1)^2 + y^2$$

con il vincolo

$$x^3 - y^2 = 0.$$

# Funzioni a valori vettoriali.

Una funzione di più variabili a valori vettoriali

$$\mathbf{f}: D \subseteq \mathbb{R}^n \rightarrow \mathbb{R}^m, \quad (m > 1) \quad \mathbf{x} \mapsto \mathbf{f}(\mathbf{x}).$$

è definita da  $m$  funzioni a valori reali  $f_i(x_1, x_2, \dots, x_n)$  ( $i = 1, 2, \dots, m$ ) sul comune dominio  $D$ .

## Limiti e continuità

Sia  $\mathbf{x}_0 \in \mathbb{R}^n$  un punto di accumulazione per  $D$ , e sia  $\mathbf{L} = (L_1, L_2, \dots, L_m) \in \mathbb{R}^m$ . Si dice che

$$\lim_{\mathbf{x} \rightarrow \mathbf{x}_0} \mathbf{f}(\mathbf{x}) = \mathbf{L} \quad \text{se} \quad \lim_{\mathbf{x} \rightarrow \mathbf{x}_0} |\mathbf{f}(\mathbf{x}) - \mathbf{L}| = 0.$$

Segue dalla definizione che  $\mathbf{f}$  ha limite  $\mathbf{L}$  per  $\mathbf{x} \rightarrow \mathbf{x}_0$  se e solo se  $\lim_{\mathbf{x} \rightarrow \mathbf{x}_0} f_i(\mathbf{x}) = L_i$ , per ogni  $i = 1, 2, \dots, m$ .

Si dice che  $\mathbf{f}$  è **continua** in  $\mathbf{x}_0 \in D$ , se

$$\lim_{\mathbf{x} \rightarrow \mathbf{x}_0} \mathbf{f}(\mathbf{x}) = \mathbf{f}(\mathbf{x}_0).$$

## Differenziabilità

Si dice che  $\mathbf{f}$  è differenziabile in un punto  $\mathbf{x}_0 \in D$  se tutte le componenti  $f_i$ ,  $i = 1, 2, \dots, m$  sono differenziabili in quel punto.

Avremo allora, per ogni  $\mathbf{h} \in \mathbb{R}^n$  t.c.  $\mathbf{x}_0 + \mathbf{h} \in D$ :

$$f_i(\mathbf{x}_0 + \mathbf{h}) - f_i(\mathbf{x}_0) = \sum_{j=1}^n \frac{\partial f_i}{\partial x_j}(\mathbf{x}_0) h_j + o(|\mathbf{h}|), \quad i = 1, 2, \dots, m.$$

Conviene scrivere queste relazioni in forma vettoriale introducendo i *vettori colonna*

$$\mathbf{f} = \begin{pmatrix} f_1 \\ f_2 \\ \vdots \\ f_m \end{pmatrix} \quad \mathbf{h} = \begin{pmatrix} h_1 \\ h_2 \\ \vdots \\ h_n \end{pmatrix}$$

e la matrice  $m \times n$ , detta **matrice Jacobiana**, che ha per elementi di posto  $ij$  le derivate parziali  $\frac{\partial f_i}{\partial x_j}$  :

$$\mathbf{Df}(\mathbf{x}) := \begin{pmatrix} \partial_{x_1} f_1(\mathbf{x}) & \dots & \partial_{x_n} f_1(\mathbf{x}) \\ \partial_{x_1} f_2(\mathbf{x}) & \dots & \partial_{x_n} f_2(\mathbf{x}) \\ . & \dots & . \\ . & \dots & . \\ \partial_{x_1} f_m(\mathbf{x}) & \dots & \partial_{x_n} f_m(\mathbf{x}) \end{pmatrix}$$

Per la matrice Jacobiana si usa spesso la notazione  $\mathbf{J}_f(\mathbf{x})$ .

La relazione di differenziabilità in un punto si scrive ora in forma vettoriale:

$$\mathbf{f}(\mathbf{x}_0 + \mathbf{h}) - \mathbf{f}(\mathbf{x}_0) = \mathbf{Df}(\mathbf{x}_0) \mathbf{h} + \mathbf{o}(|\mathbf{h}|),$$

dove  $\mathbf{o}(|\mathbf{h}|)$  è un *vettore* le cui  $m$  componenti sono infinitesime di ordine superiore a  $|\mathbf{h}|$  per  $\mathbf{h} \rightarrow \mathbf{0}$ .

Il *differenziale* di  $\mathbf{f}$  in  $\mathbf{x}_0$  è la funzione lineare:

$$d\mathbf{f}(\mathbf{x}_0) : \mathbb{R}^n \rightarrow \mathbb{R}^m, \quad \mathbf{h} \mapsto \mathbf{Df}(\mathbf{x}_0) \mathbf{h}.$$

### Osservazioni.

Nel caso particolare di  $f : \mathbb{R}^n \rightarrow \mathbb{R}$  (cioè per  $m = 1$ ) la matrice Jacobiana in un punto  $\mathbf{x} = (x_1, x_2, \dots, x_n)$  diviene

$$\mathbf{D}f(\mathbf{x}) = (\partial_{x_1} f(\mathbf{x}), \partial_{x_2} f(\mathbf{x}), \dots, \partial_{x_n} f(\mathbf{x}))$$

ed è quindi il gradiente  $\nabla f(\mathbf{x})$  scritto come vettore riga.

Nel caso particolare di  $\mathbf{f} : \mathbb{R} \rightarrow \mathbb{R}^m$  (cioè per  $n = 1$ ) la matrice Jacobiana in un punto  $t \in \mathbb{R}$  diviene

$$\mathbf{D}\mathbf{f}(t) = \begin{pmatrix} f'_1(t) \\ f'_2(t) \\ \vdots \\ f'_m(t) \end{pmatrix}$$

ed è quindi il vettore tangente  $\mathbf{f}'(t)$  scritto come vettore colonna.



### Osservazione sulle notazioni

In casi di particolari applicazioni (superfici parametriche, trasformazioni di coordinate, campi vettoriali) si utilizzano notazioni diverse per rappresentare le funzioni a valori vettoriali.

Per esempio, una trasformazione di coordinate  $\mathbf{T} : \mathbb{R}^n \rightarrow \mathbb{R}^n$  è usualmente rappresentata con le equazioni

$$\begin{cases} x_1 = x_1(u_1, u_2, \dots, u_n) \\ x_2 = x_2(u_1, u_2, \dots, u_n) \\ \dots & \dots \\ \dots & \dots \\ x_n = x_n(u_1, u_2, \dots, u_n) \end{cases}$$

Qui il ruolo delle variabili indipendenti è giocato dalle  $(u_1, u_2, \dots, u_n)$ , mentre le  $(x_1, x_2, \dots, x_n)$  sono le componenti del vettore  $\mathbf{T}(u_1, u_2, \dots, u_n)$ .

Il determinante della matrice Jacobiana della trasformazione si scrive anche

$$\det J_{\mathbf{T}}(u_1, u_2, \dots, u_n) \equiv \frac{\partial(x_1, x_2, \dots, x_n)}{\partial(u_1, u_2, \dots, u_n)}$$

## Esempi

La matrice Jacobiana di una funzione *lineare*  $\mathbf{f} : \mathbb{R}^n \rightarrow \mathbb{R}^m$ ,  $\mathbf{x} \mapsto \mathbf{f}(\mathbf{x}) := M\mathbf{x}$ , è (in ogni punto) la stessa matrice  $M$  :

$$J_{\mathbf{f}}(\mathbf{x}) = M.$$

Calcoliamo la matrice Jacobiana della *trasformazione in coordinate polari*:

$$\mathbf{T} : \quad \begin{cases} x = \rho \cos \theta, \\ y = \rho \sin \theta, \end{cases} \quad (\rho, \theta) \in [0, +\infty) \times [0, 2\pi).$$

$$J_{\mathbf{T}}(\rho, \theta) = \begin{pmatrix} \cos \theta & -\rho \sin \theta \\ \sin \theta & \rho \cos \theta \end{pmatrix}$$

Osserviamo che

$$\det J_{\mathbf{T}}(\rho, \theta) = \rho,$$

per cui la matrice Jacobiana della trasformazione diventa singolare nell'origine.

## Condizione sufficiente di differenziabilità

Se tutte le componenti  $f_i$  di una funzione a valori vettoriali  $\mathbf{f}$  hanno derivate continue in un punto  $\mathbf{x}_0$ , allora  $\mathbf{f}$  è differenziabile in  $\mathbf{x}_0$ .

In altri termini, se tutti gli elementi della matrice Jacobiana sono funzioni continue in  $\mathbf{x}_0$ , allora  $\mathbf{f}$  è differenziabile in  $\mathbf{x}_0$ .

Anche il *teorema di derivazione delle funzioni composte* si può convenientemente enunciare con le matrici jacobiane:

Siano  $\mathbf{f} =: \mathbb{R}^n \rightarrow \mathbb{R}^m$  e  $\mathbf{g} : \mathbb{R}^m \rightarrow \mathbb{R}^k$  tali che:

$\mathbf{f}$  è differenziabile in  $\mathbf{x}_0 \in \mathbb{R}^n$  e  $\mathbf{g}$  è differenziabile in  $\mathbf{y}_0 = \mathbf{f}(\mathbf{x}_0) \in \mathbb{R}^m$ .

Allora la funzione composta  $\mathbf{g} \circ \mathbf{f}$  è differenziabile in  $\mathbf{x}_0$  e vale

$$\mathbf{D}(\mathbf{g} \circ \mathbf{f})(\mathbf{x}_0) = \mathbf{Dg}(\mathbf{y}_0) \mathbf{Df}(\mathbf{x}_0).$$

Osservare che (in ogni punto) la matrice  $J_{\mathbf{g}}$  è di tipo  $k \times m$ , mentre  $J_{\mathbf{f}}$  è di tipo  $m \times n$  per cui il prodotto (righe per colonne) è ben definito ed è una matrice  $k \times n$ .

Ponendo  $\mathbf{y} = \mathbf{f}(\mathbf{x})$ ,  $\mathbf{z} = \mathbf{g}(\mathbf{y}) = \mathbf{g} \circ \mathbf{f}(\mathbf{x})$ , il risultato equivale alle relazioni

$$\frac{\partial z_i}{\partial x_j} = \sum_{l=1}^m \frac{\partial z_i}{\partial y_l} \frac{\partial y_l}{\partial x_j}, \quad \forall \quad i = 1, 2, \dots, k, \quad j = 1, 2, \dots, n.$$

### Esempio

Data  $g(x, y)$  differenziabile e la trasformazione in coordinate polari

$$x = \rho \cos \theta, \quad y = \rho \sin \theta,$$

calcoliamo le derivate della funzione composta

$$\tilde{g}(\rho, \theta) := g(\rho \cos \theta, \rho \sin \theta).$$

Osserviamo che in questo caso :  $n = m = 2, \quad k = 1,$

$$(x_1, x_2) \Rightarrow (\rho, \theta); \quad (y_1, y_2) \Rightarrow (x, y),$$

la funzione  $\mathbf{f}$  è la trasformazione di coordinate  $\mathbf{T}$  di p. 26 e  $\mathbf{g} \circ \mathbf{T} = \tilde{g}$ .

Abbiamo allora :

$$\partial_{\rho} \tilde{g}(\rho, \theta) = \partial_{\rho} g(\rho \cos \theta, \rho \sin \theta) = \partial_x g(x, y) \cos \theta + \partial_y g(x, y) \sin \theta ,$$

$$\partial_{\theta} \tilde{g}(\rho, \theta) = \partial_{\theta} g(\rho \cos \theta, \rho \sin \theta) = \partial_x g(x, y)(-\rho \sin \theta) + \partial_y g(x, y) \rho \cos \theta .$$

Osserviamo che le due relazioni si scrivono in forma vettoriale:

$$(\partial_{\rho} \tilde{g}, \partial_{\theta} \tilde{g}) = (\partial_x g, \partial_y g) \begin{pmatrix} \cos \theta & -\rho \sin \theta \\ \sin \theta & \rho \cos \theta \end{pmatrix}$$

ovvero

$$J_{\tilde{g}}(\rho, \theta) = J_g(x, y) J_{\mathbf{T}}(\rho, \theta) ,$$

in accordo con il teorema a pag. 27.

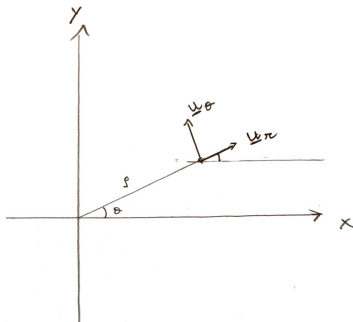
## Osservazioni

Detto  $\mathbf{u}_r = \cos \theta \mathbf{i} + \sin \theta \mathbf{j}$  il versore della direzione radiale, la prima relazione della pagina precedente si può scrivere

$$\partial_\rho \tilde{g}(\rho, \theta) = D_{\mathbf{u}_r} g(x, y),$$

dove  $(\rho, \theta)$  e  $(x, y)$  sono sempre i punti che si corrispondono nella trasformazione.

In modo analogo, la seconda relazione ci dice che  $\frac{1}{\rho} \partial_\theta \tilde{g}$  è la derivata di  $g$  nella direzione del versore  $\mathbf{u}_\theta = -\sin \theta \mathbf{i} + \cos \theta \mathbf{j}$ .



## Superfici parametriche.

Sia  $D \subseteq \mathbb{R}^2$  con interno non vuoto ( $\mathring{D} \neq \emptyset$ ). Si dice *superficie in forma parametrica* una funzione

$$\mathbf{r}: D \rightarrow \mathbb{R}^3, \quad (u, v) \mapsto \mathbf{r}(u, v) = x(u, v)\mathbf{i} + y(u, v)\mathbf{j} + z(u, v)\mathbf{k}.$$

Se  $\mathbf{r} \in \mathcal{C}^1(\mathring{D})$ , la superficie si dice di classe  $\mathcal{C}^1$ .

Per queste superfici sono definiti (per ogni  $(u, v) \in \mathring{D}$ ) i vettori

$$\mathbf{r}_u(u, v) := \partial_u \mathbf{r}(u, v), \quad \mathbf{r}_v(u, v) := \partial_v \mathbf{r}(u, v),$$

'tangenti alle linee coordinate' sulla superficie.

Una superficie di classe  $\mathcal{C}^1$  si dice **regolare** se

$$\mathbf{r}_u(u, v) \wedge \mathbf{r}_v(u, v) \neq \mathbf{0}$$

per ogni  $(u, v) \in \mathring{D}$ .

Si può anche dire che una superficie è regolare se la matrice Jacobiana

$$J_{\mathbf{r}}(u, v) = \begin{pmatrix} x_u(u, v) & x_v(u, v) \\ y_u(u, v) & y_v(u, v) \\ z_u(u, v) & z_v(u, v) \end{pmatrix}$$

ha rango 2 (massimo) per ogni  $(u, v) \in \mathring{D}$ .

In ogni punto  $\mathbf{r}(u, v)$  ( $(u, v) \in \mathring{D}$ ) di una superficie regolare è definito un *versore normale*

$$\mathbf{n}(u, v) = \frac{\mathbf{r}_u(u, v) \wedge \mathbf{r}_v(u, v)}{|\mathbf{r}_u(u, v) \wedge \mathbf{r}_v(u, v)|},$$

perpendicolare al piano tangente che contiene i vettori  $\mathbf{r}_u(u, v)$  e  $\mathbf{r}_v(u, v)$ .



## Esempi

### La funzione

$$\mathbf{r}(u, v) = R \cos u \mathbf{i} + R \sin u \mathbf{j} + v \mathbf{k}, \quad u \in [0, 2\pi), \quad v \in \mathbb{R},$$

rappresenta la *superficie cilindrica* di equazione  $x^2 + y^2 = R^2$  nello spazio.

La superficie è regolare perché

$$\mathbf{r}_u(u, v) = -R \sin u \mathbf{i} + R \cos u \mathbf{j}, \quad \mathbf{r}_v(u, v) = \mathbf{k},$$

$$\mathbf{r}_u(u, v) \wedge \mathbf{r}_v(u, v) = R \cos u \mathbf{i} + R \sin u \mathbf{j} \neq \mathbf{0}.$$

Il *versore*

$$\mathbf{n}(u, v) = \cos u \mathbf{i} + \sin u \mathbf{j} \neq \mathbf{0},$$

è in ogni punto perpendicolare alla superficie e ha verso 'uscente' dal cilindro.

La funzione

$$\mathbf{r}(\phi, \theta) = R \sin \phi \cos \theta \mathbf{i} + R \sin \phi \sin \theta \mathbf{j} + R \cos \phi \mathbf{k}, \quad \phi \in [0, \pi], \quad \theta \in [0, 2\pi),$$

parametrizza la *superficie sferica*  $S_R$  di equazione  $x^2 + y^2 + z^2 = R^2$ .

Abbiamo ora:

$$\mathbf{r}_\phi(\phi, \theta) = R \cos \phi \cos \theta \mathbf{i} + R \cos \phi \sin \theta \mathbf{j} - R \sin \phi \mathbf{k},$$

$$\mathbf{r}_\theta(\phi, \theta) = -R \sin \phi \sin \theta \mathbf{i} + R \sin \phi \cos \theta \mathbf{j}.$$

Verificare che  $\mathbf{r}_\phi \wedge \mathbf{r}_\theta$  è perpendicolare alla superficie, punta verso l'esterno della sfera e ha lunghezza

$$|\mathbf{r}_\phi(\phi, \theta) \wedge \mathbf{r}_\theta(\phi, \theta)| = R^2 \sin \phi.$$

## Superfici cartesiane

Il grafico di una funzione  $f(x, y)$  si può rappresentare in forma parametrica:

$$\mathbf{r}(u, v) = u\mathbf{i} + v\mathbf{j} + f(u, v)\mathbf{k}, \quad (u, v) \in D.$$

Se  $f \in \mathcal{C}^1(D)$ , la superficie è regolare:

$$\mathbf{r}_u(u, v) \wedge \mathbf{r}_v(u, v) = (\mathbf{i} + f_x(u, v)\mathbf{k}) \wedge (\mathbf{j} + f_y(u, v)\mathbf{k}) = -f_x\mathbf{i} - f_y\mathbf{j} + \mathbf{k}.$$

$$|\mathbf{r}_u(u, v) \wedge \mathbf{r}_v(u, v)| = \sqrt{f_x(u, v)^2 + f_y(u, v)^2 + 1} = \sqrt{1 + |\nabla f|^2}$$

Il versore normale (che punta verso l'alto) si scrive

$$\mathbf{n} = \frac{-f_x}{\sqrt{1 + |\nabla f|^2}} \mathbf{i} + \frac{-f_y}{\sqrt{1 + |\nabla f|^2}} \mathbf{j} + \frac{1}{\sqrt{1 + |\nabla f|^2}} \mathbf{k}.$$

## Invertibilità delle funzioni da $\mathbb{R}^n$ in $\mathbb{R}^n$

Richiesta necessaria per le trasformazioni di coordinate, ma che in generale non è soddisfatta 'globalmente'.

Vale per le trasformazioni *lineari*

$$\mathbf{x} \mapsto A\mathbf{x}$$

se e solo se  $A$  è una matrice  $n \times n$  non singolare, cioè se

$$\det A \neq 0.$$

Nel caso generale abbiamo:

## Teorema (Inversione locale)

Sia  $\mathbf{f} : D \rightarrow \mathbb{R}^n$ , con  $D \subseteq \mathbb{R}^n$  aperto e  $\mathbf{f} \in \mathcal{C}^1(D)$ . Supponiamo che in  $\mathbf{x}_0 \in D$  valga

$$\det \mathbf{Df}(\mathbf{x}_0) \neq 0.$$

Allora esistono un intorno  $U$  di  $\mathbf{x}_0$  e un intorno  $V$  di  $\mathbf{y}_0 = \mathbf{f}(\mathbf{x}_0)$  tali che  $\mathbf{f}$  è una corrispondenza *biunivoca* tra  $U$  e  $V$ .

Inoltre, detta  $\mathbf{g} : V \rightarrow U$  la funzione inversa di  $\mathbf{f}|_U$ , risulta  $\mathbf{g} \in \mathcal{C}^1(V)$  e vale la formula

$$\mathbf{Dg}(\mathbf{y}) = \mathbf{Df}(\mathbf{x})^{-1},$$

per ogni  $\mathbf{y} \in V$  e  $\mathbf{x} = \mathbf{g}(\mathbf{y}) \in U$ .

## Esempi

Per la trasformazione  $\mathbf{T}$  in coordinate polari si ha  $\det D_{\mathbf{T}}(\rho, \theta) = \rho$  (v. pag.26); segue dal teorema che la trasformazione è invertibile nell'intorno di ogni punto con  $\rho > 0$ , cioè al di fuori dell'origine nel piano  $(x, y)$ .

In effetti, dalle formule della trasformazione segue che  $\mathbf{T}(0, \theta) = (0, 0)$  per ogni  $\theta$ , per cui  $\mathbf{T}$  non è localmente biunivoca intorno ai punti dell'asse  $\rho = 0$ .

## Problema

Verificare che  $\mathbf{T}$  *ristretta all'aperto*

$$A = (0, +\infty) \times (0, 2\pi),$$

è biunivoca tra  $A$  ed il piano  $\mathbb{R}^2$  privato della semiretta  $\{(x, 0), x \geq 0\}$  e che  $\mathbf{T}^{-1}$  è di classe  $\mathcal{C}^1$  (diffeomorfismo globale).

Anche per le *coordinate cilindriche* in  $\mathbb{R}^3$ :

$$\begin{cases} x = \rho \cos \theta, \\ y = \rho \sin \theta, \\ z = t, \end{cases} \quad \rho \in [0, +\infty), \theta \in [0, 2\pi), t \in \mathbb{R},$$

risulta  $\det J_{\mathbf{T}}(\rho, \theta, t) = \rho$  (fare la verifica); in questo caso, i punti singolari della trasformazione sono tutti quelli dell'asse  $z$ .

Infine, per le *coordinate sferiche* in  $\mathbb{R}^3$

$$\begin{cases} x = \rho \sin \phi \cos \theta, \\ y = \rho \sin \phi \sin \theta, \\ z = \rho \cos \phi, \end{cases} \quad \rho \in [0, +\infty), \phi \in [0, \pi], \theta \in [0, 2\pi),$$

risulta

$$\det J_{\mathbf{T}}(\rho, \theta, t) = \rho^2 \sin \phi.$$

Anche in questo caso i punti dell'asse  $z$  sono singolari.

*Attenzione:* Anche se una trasformazione soddisfa in ogni punto le ipotesi del teorema di inversione locale, *non è garantito* che sia *globalmente* invertibile.

Per esempio

$$\mathbf{f} : \mathbb{R}^2 \rightarrow \mathbb{R}^2 \quad \mathbf{f}(x, y) = \begin{pmatrix} e^x \cos y \\ e^x \sin y \end{pmatrix}$$

ha matrice Jacobiana

$$J_{\mathbf{f}}(x, y) = \begin{pmatrix} e^x \cos y & -e^x \sin y \\ e^x \sin y & e^x \cos y \end{pmatrix}$$

Abbiamo  $\det J_{\mathbf{f}}(x, y) = e^{2x} \neq 0$  in ogni punto  $(x, y)$ ; quindi  $\mathbf{f}$  è localmente invertibile in un intorno di ogni punto del piano.

Tuttavia,  $\mathbf{f}$  non è globalmente invertibile poiché

$$\mathbf{f}(x, y + 2n\pi) = \mathbf{f}(x, y)$$

per ogni  $n \in \mathbb{Z}$ .

Esercizio. Studiare l'invertibilità locale della trasformazione  $\mathbf{f}(x, y) = \begin{pmatrix} x \\ xy \end{pmatrix}$ .